

遠赤外線光子計数型干渉計による 超高解像度観測

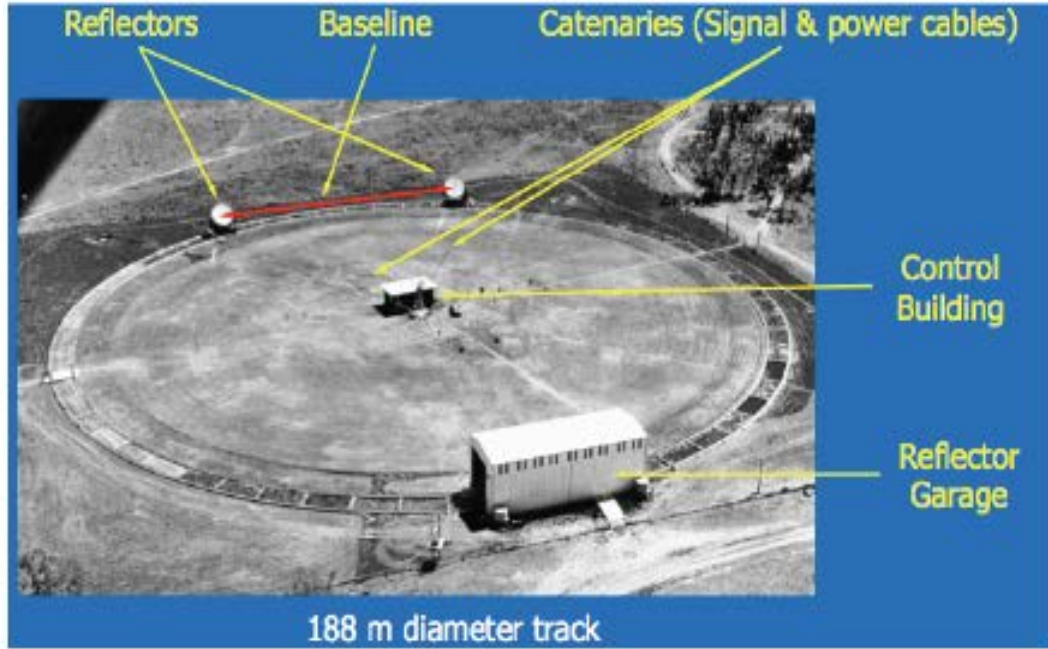
強度干渉計

1ミリ秒角—10マイクロ秒角

松尾 宏

国立天文台・先端技術センター

Narrabri Stellar Intensity Interferometer



Hanbury-Brown et al. (1974)



Narrabri Stellar Interferometer

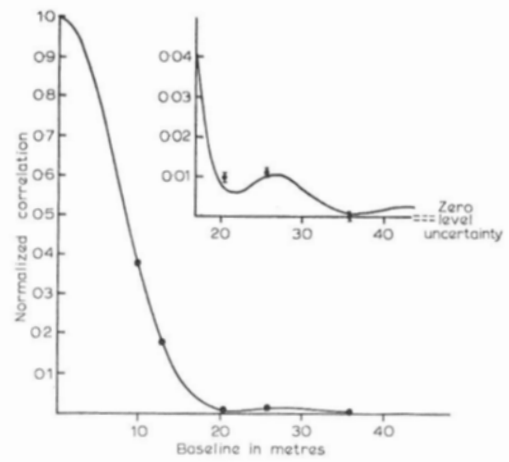
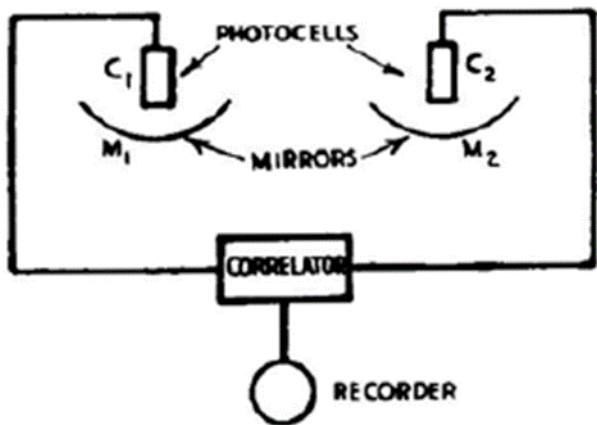
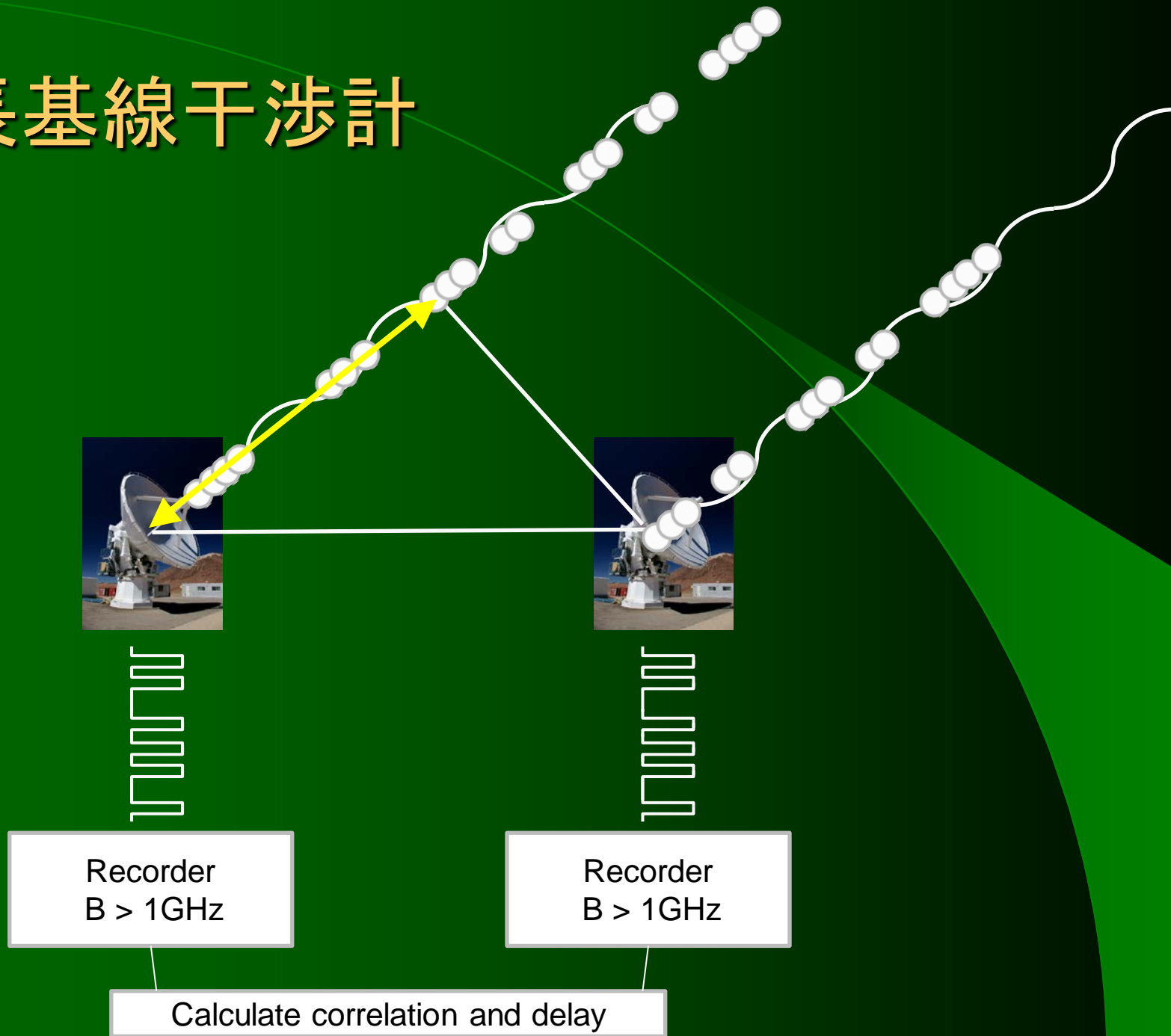


Fig. 11.5. Correlation as a function of baseline for Sirius A ($\times C$ Ma). The points show the observed results; the full line shows the theoretical curve for a model

強度干渉計の特徴

- 位相の揺らぎに強い
 - 大気揺らぎの影響を受けにくい。
- 直接検出器が使える
 - 受信機量子雑音 ($T > h\nu/k$) の制限がない。
- 感度が悪い？
 - 赤外線では強度相関が強い。
- 画像合成ができない
 - 光子バンチから遅延時間が得られる。

超長基線干涉計



強度干渉計による 複素ビジビリティの取得は可能？

- 手法① コーシー・リーマンの方程式

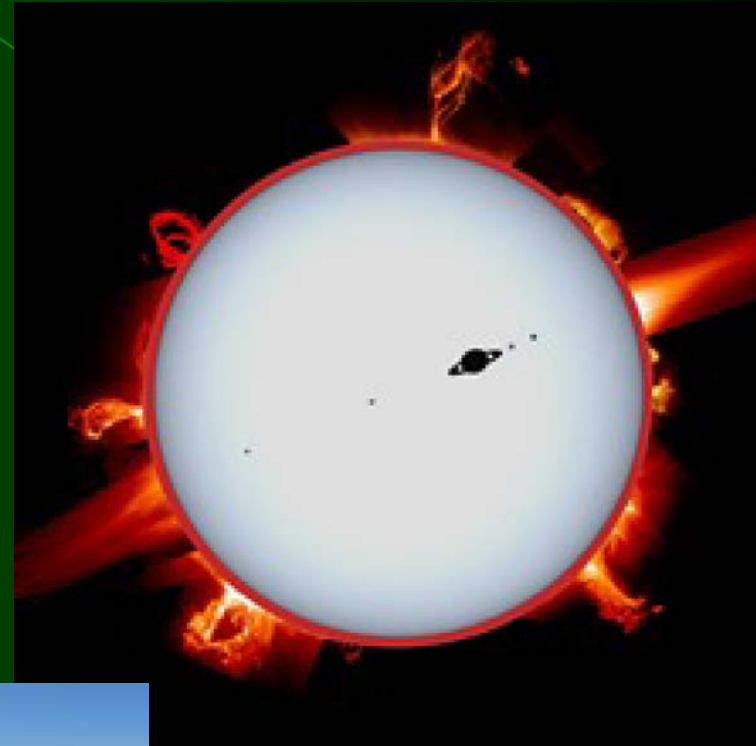
$$\frac{\partial u}{\partial x} = \frac{\partial v}{\partial y}, \quad \frac{\partial u}{\partial y} = -\frac{\partial v}{\partial x},$$

where $f(x + iy) = u(x, y) + iv(x, y)$

- 手法② 光子バンチによる遅延時間測定
 - Bose-Einstein統計による光子バンチ
 - 強度相関と遅延時間の取得

CTA as Intensity Interferometer

- Phase recovery
 - Cauchy-Riemann equation (amplitude and phase relation)
- Angular resolution
 - $30 \mu\text{as}$



Cherenkov Telescope Array



Dravins, SPIE 99070M (2016)

熱放射の揺らぎ

$$\Delta n = \sqrt{n + n^2}, \quad \text{where } n = \frac{1}{e^{h\nu/kT} - 1} \quad (\text{個/Hz})$$

n : 光子占有数 (photon occupation number)

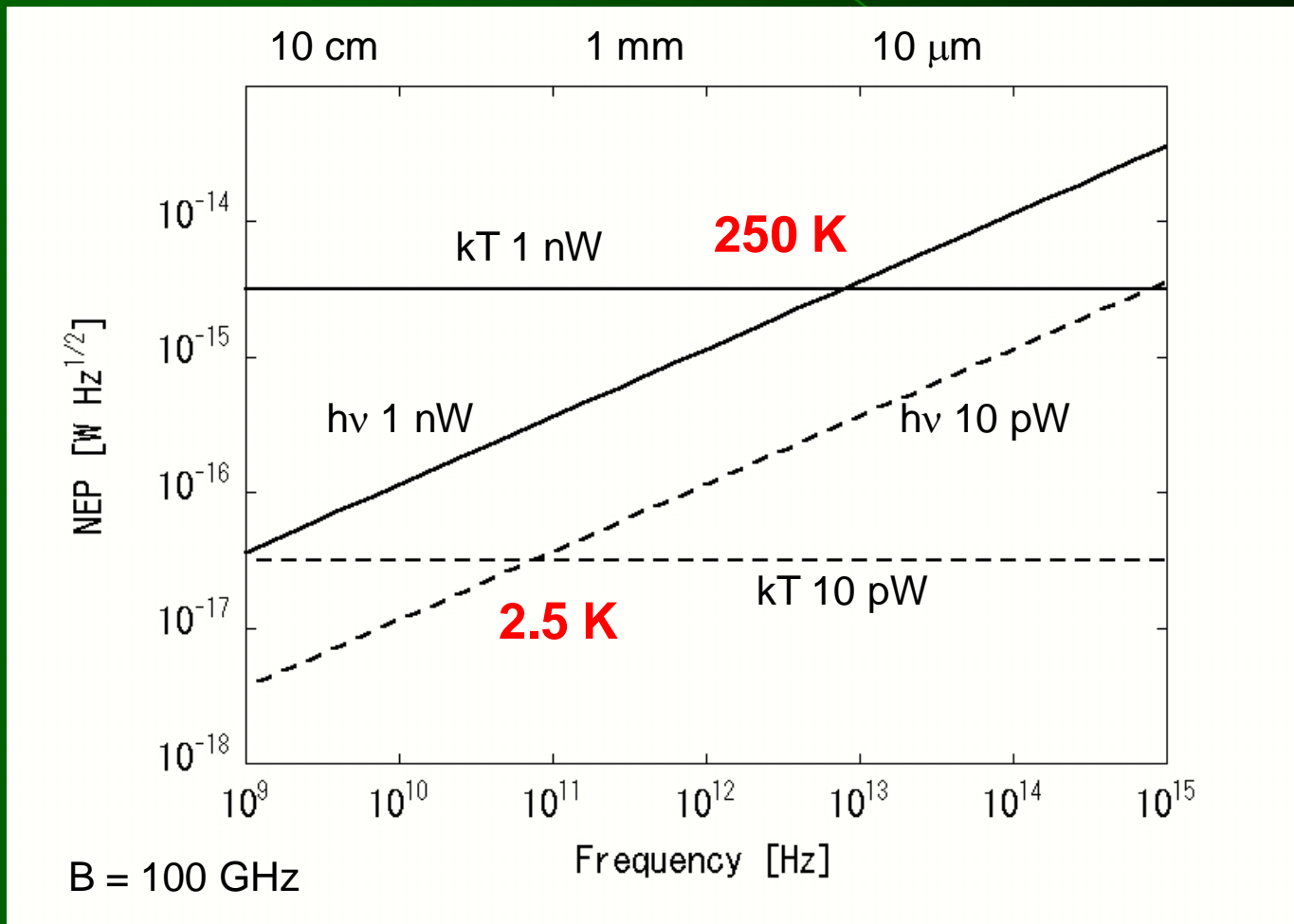
$$A \cdot \Omega = \lambda^2$$

$$\text{NEP} = \sqrt{2P \cdot (h\nu + kT_B)} \quad [\text{W}/\sqrt{\text{Hz}}]$$

References A. Einstein (1909)
 J. Mather (1984)
 J. Zmuidzinas (2003)

テラヘルツ波の粒子性、波動性

$$\text{NEP}_{\text{direct}} = \sqrt{2P \cdot (h\nu + kT_B)} [\text{W}/\sqrt{\text{Hz}}]$$



Nobeyama Radioheliograph (NoRH)

- Interferometer exclusively observing the Sun
- 84 antennas of 80 cm diameter
- 17 GHz R+L / 34 GHz
- Fundamental Spacing 1.528 m

NRO 45 m



Date: April 14, 2014

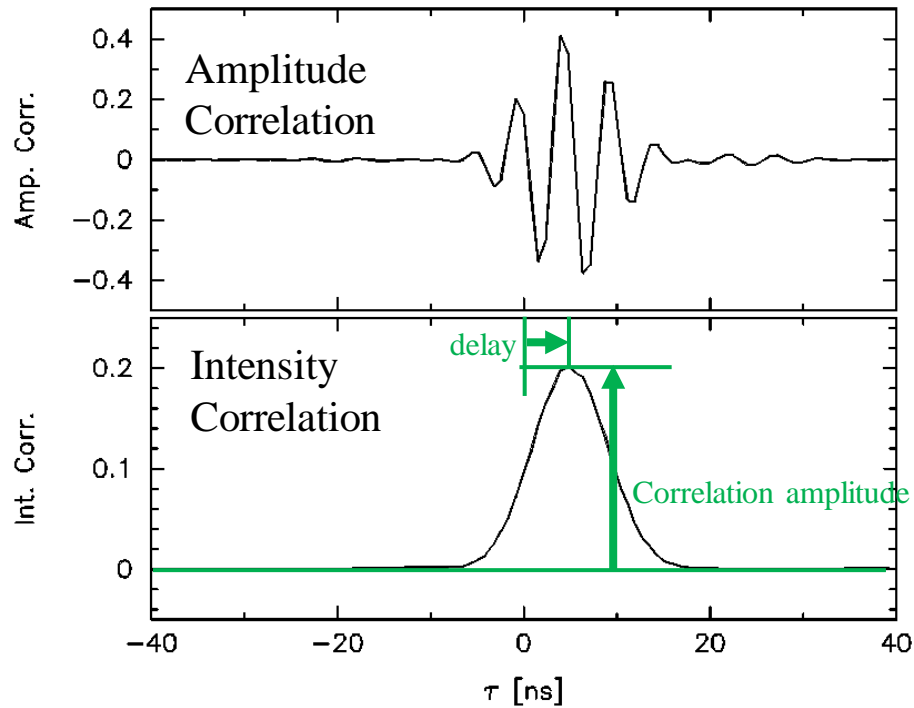
Utilized:

17 GHz (17 mTHz) R+L

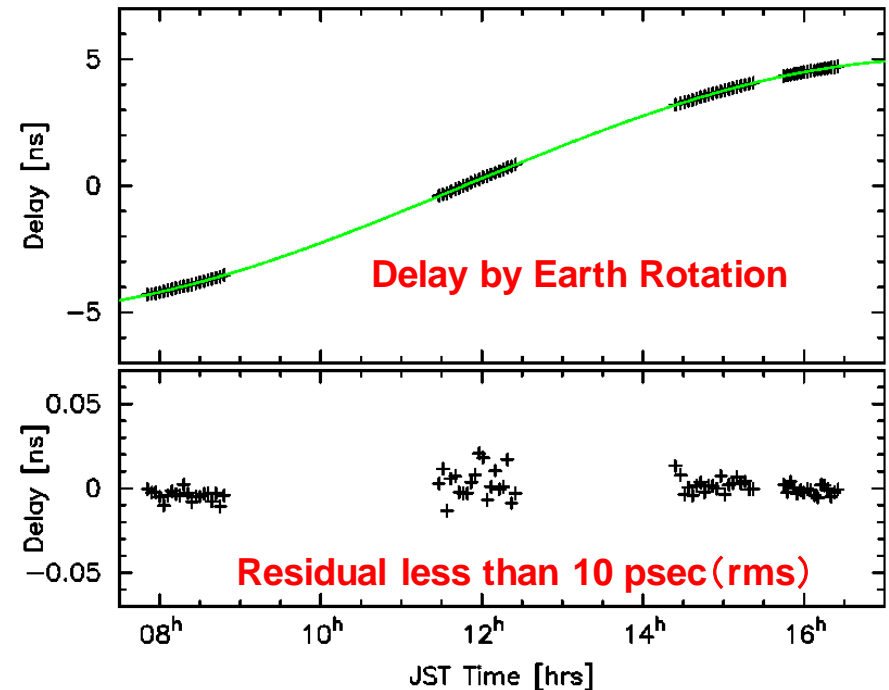
Central 16 elements aligned East-West

Nobeyema Radioheliograph at 17 GHz

Cross correlation between 2 nearby antennas ($t_{\text{int}} = 50$ msec)



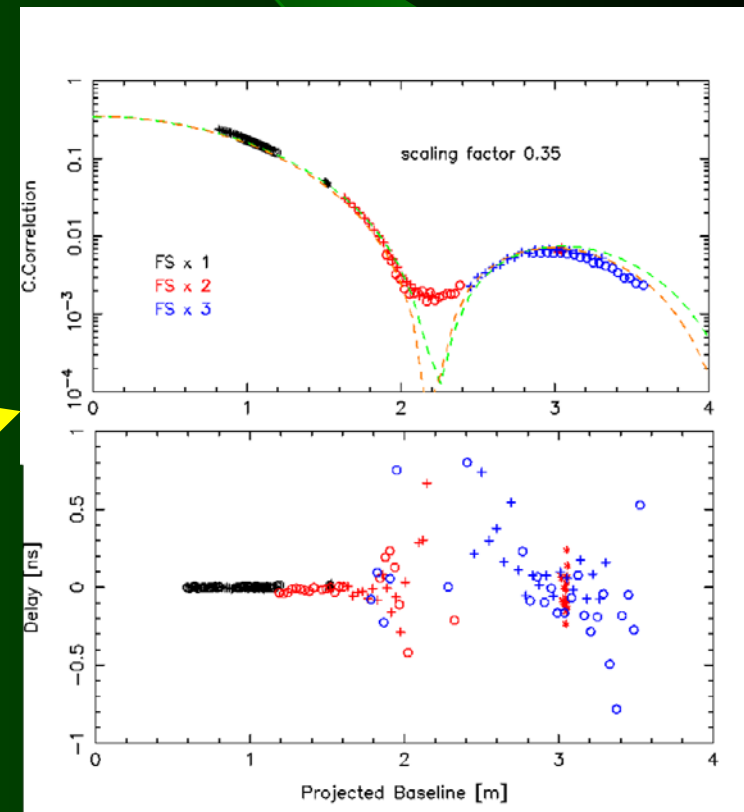
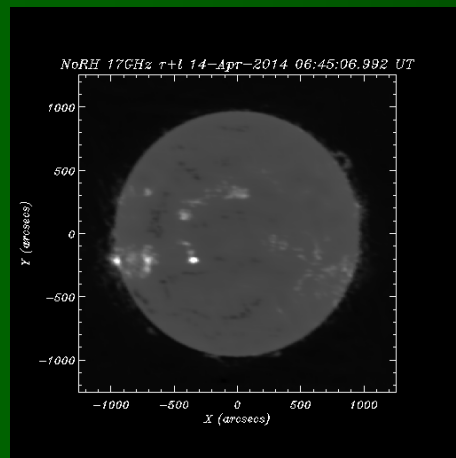
Delay measurement during daytime



Ezawa, Matsuo et al. (2015)

Complex Visibility for Aperture Synthesis Imaging

- Real Part
 - Sqrt of Intensity Correlation
- Imaginary Part
 - $\Delta\phi = 2\pi\nu\Delta t$



遅延時間の測定精度

Antenna Temperature T_A^* [K]

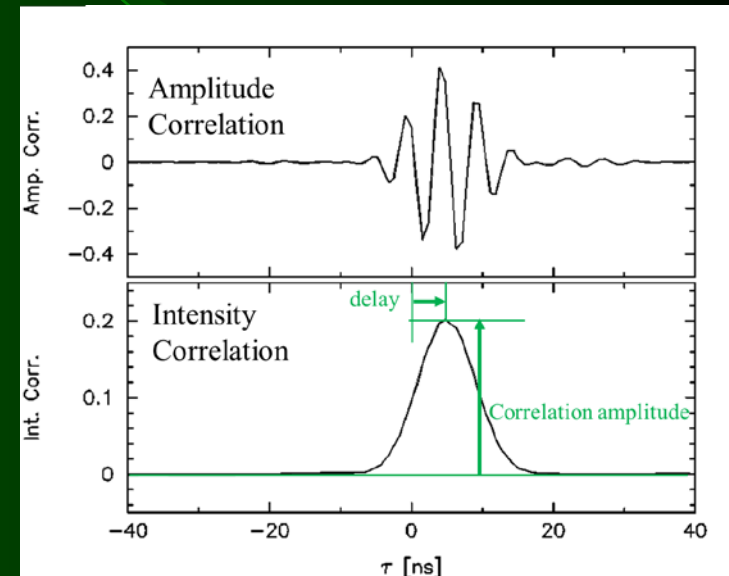
System Temperature T_{sys} [K]

Frequency ν [Hz]

Bandwidth $\Delta\nu$ [Hz]

$$\Delta t = \frac{T_{\text{sys}}}{T_A^*} \cdot \frac{1}{\sqrt{\Delta\nu \cdot \tau}} \cdot \frac{1}{\Delta\nu} \text{ [s]}$$

$$\Delta\varphi = 2\pi\nu\Delta t \text{ [rad]}$$



強度干渉計から 光子計数型干渉計へ

- テラヘルツ光子レートの見積もり

- 100 M photons/sec

- 100 Jy source, $\nu=10$ THz, $B=1$ THz with 1 m telescope

- 1 Jy source, $\nu=1$ THz, $B=100$ GHz with 10 m telescope

- 遅延時間測定精度

- $\Delta t = 1/100M / (100M \cdot T)^{0.5} = 10^{-13}$ sec ($T=100$ sec)

- 高速動作の光子計数型検出器

- 時間分解能 1 nsec で 10 THz 光子1個は、

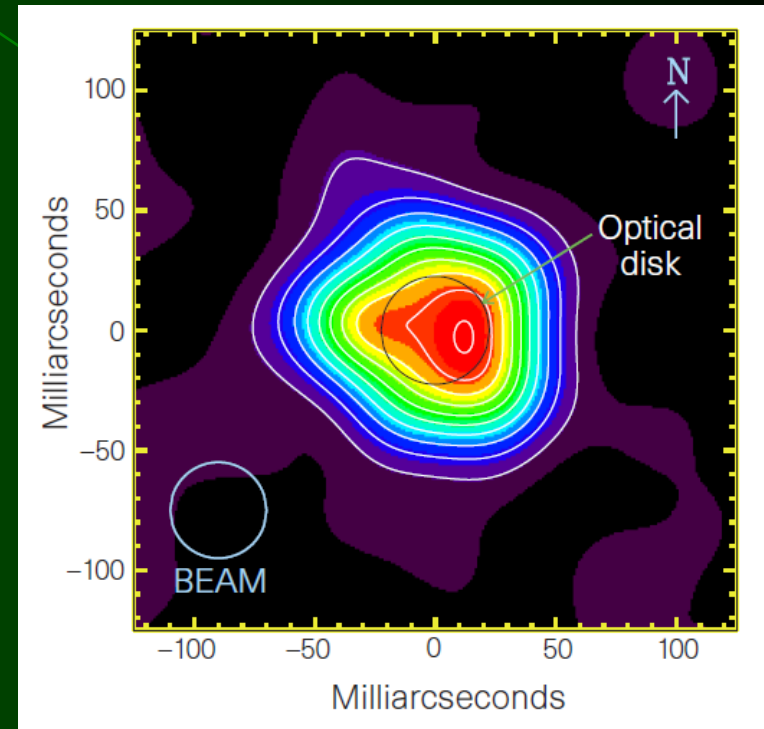
$$NEP = 2 \times 10^{-16} \text{ W/Hz}^{0.5}$$

THz Photons are bunched !



Betelgeuse

- Photospheric radius
 - 22.5 mas
- Temperature
 - 3600 K
- Flux Density
 - 3 Jy at 1 THz
 - $T_A = 0.13$ K (10 m dish)
 - $\Delta T = 500$ K / $(10 \text{ GHz})^{0.5}$
 - $\Delta t = 4 \text{ psec} / (t_{\text{int}})^{0.5} = 0.2 \text{ psec}$ ($t_{\text{int}} = 10 \text{ min}$)



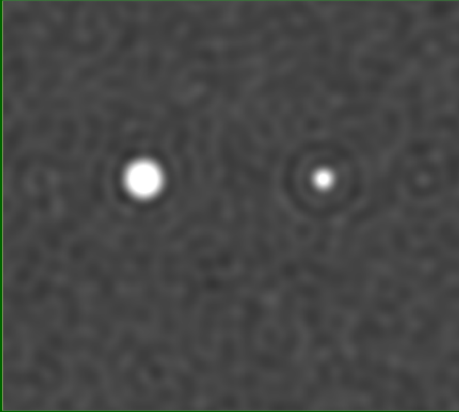
VLA 7 mm
Lim et al. Nature (1998)

波長 $300\mu\text{m}$ 1 THz でのシミュレーション (BL=6km)

Amplitude

$\Delta\nu = 10\text{ GHz}$, $t=60\text{ sec}$

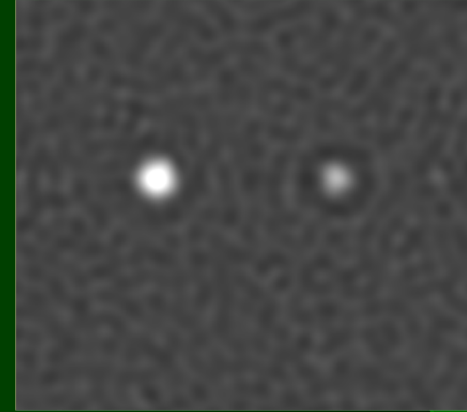
Phase error $50\ \mu\text{m}$



Intensity

$\Delta\nu = 100\text{ GHz}$, $t=600\text{ sec}$

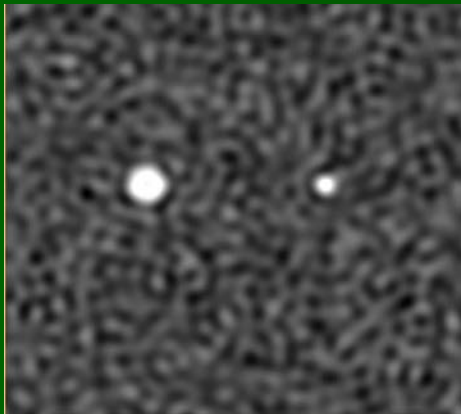
Phase error $50\ \mu\text{m}$



Amplitude

$\Delta\nu = 10\text{ GHz}$, $t=60\text{ sec}$

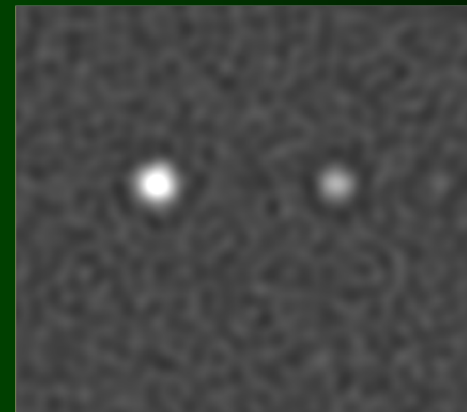
Phase error $100\ \mu\text{m}$



Intensity

$\Delta\nu = 100\text{ GHz}$, $t=600\text{ sec}$

Phase error $100\ \mu\text{m}$



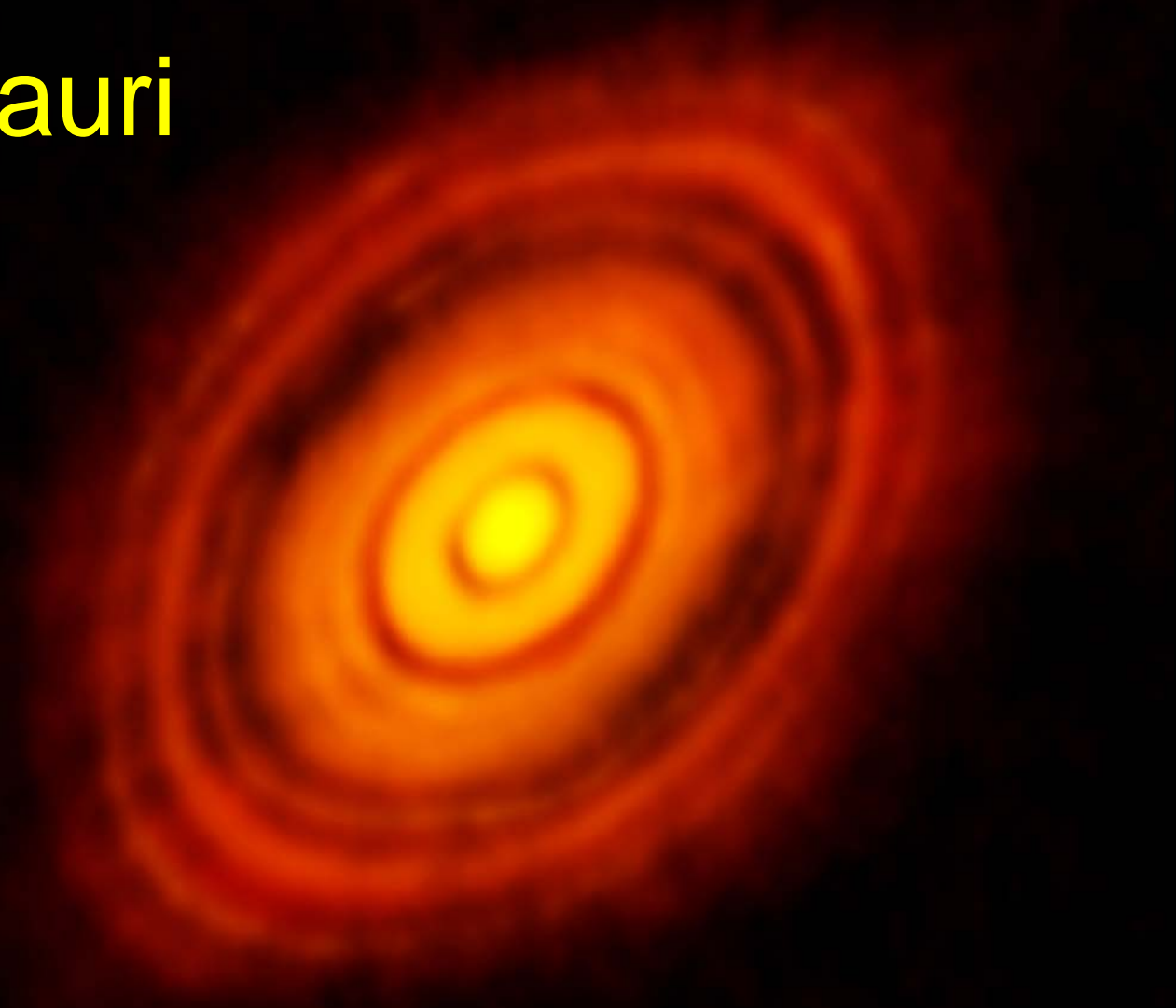
背景放射限界で観測すると

- 感度の向上 (3THz vs. 100GHz)
 - $T_{\text{sys}} = \text{NEP} / (2k B^{0.5}) = 10 \text{ mK}$
 - 量子雑音 vs. 背景放射雑音 4-5桁
 - 帯域幅 $(1 \text{ THz} / 1 \text{ GHz})^{0.5} = 1.5$ 桁
- 基線長
 - 光学的な干渉では基線が制限される
 - 強度干渉計では光子信号をレコーダに記録

強度干渉計による画像合成

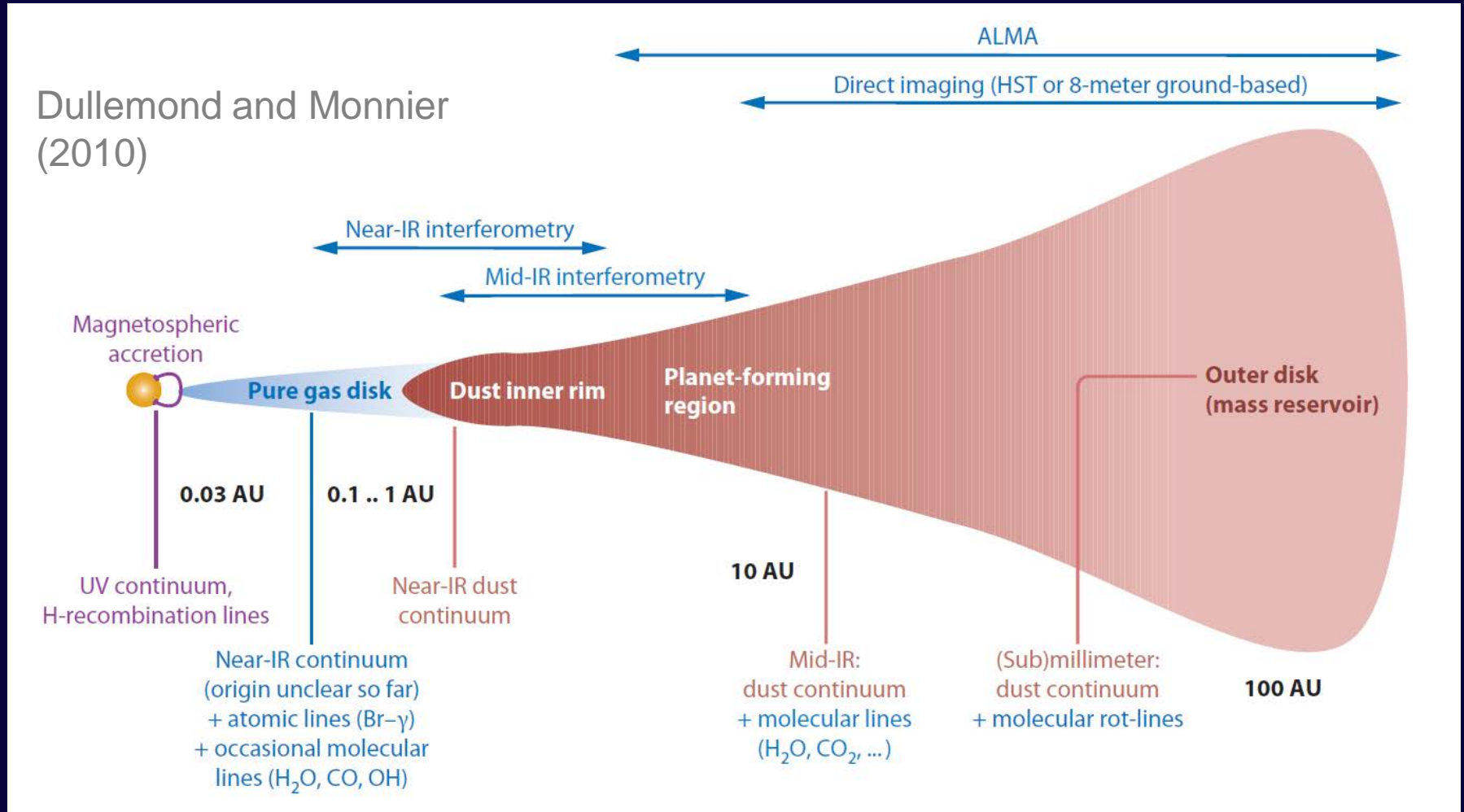
- 強度相関による遅延時間決定には長時間の積分が必要
- 強度干渉計は光度の高いコンパクトな天体の観測に適している
- 大気の位相揺らぎによる影響を受けにくい
- 宇宙空間からの超高感度・高解像度観測が期待される

HL Tauri



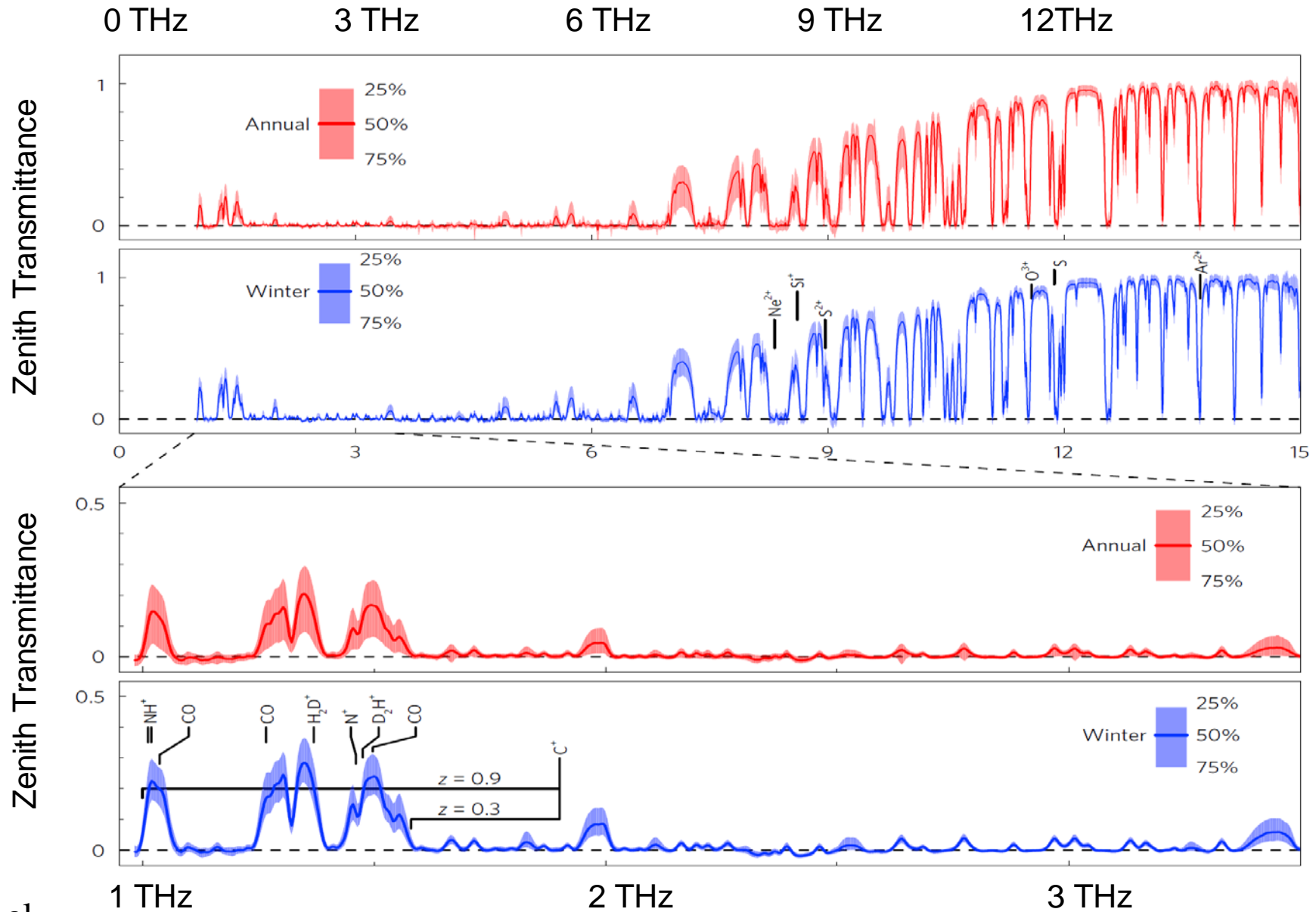
ALMA (ESO/NAOJ/NRAO)

Structure of a protoplanetary disk



Scales are for Taurus and Auriga region

Terahertz and far-infrared windows from Dome A



Interferometry from Antarctica

Atlantic Ocean

Indian Ocean

South Pole

Dome F

Dome A

Dome C

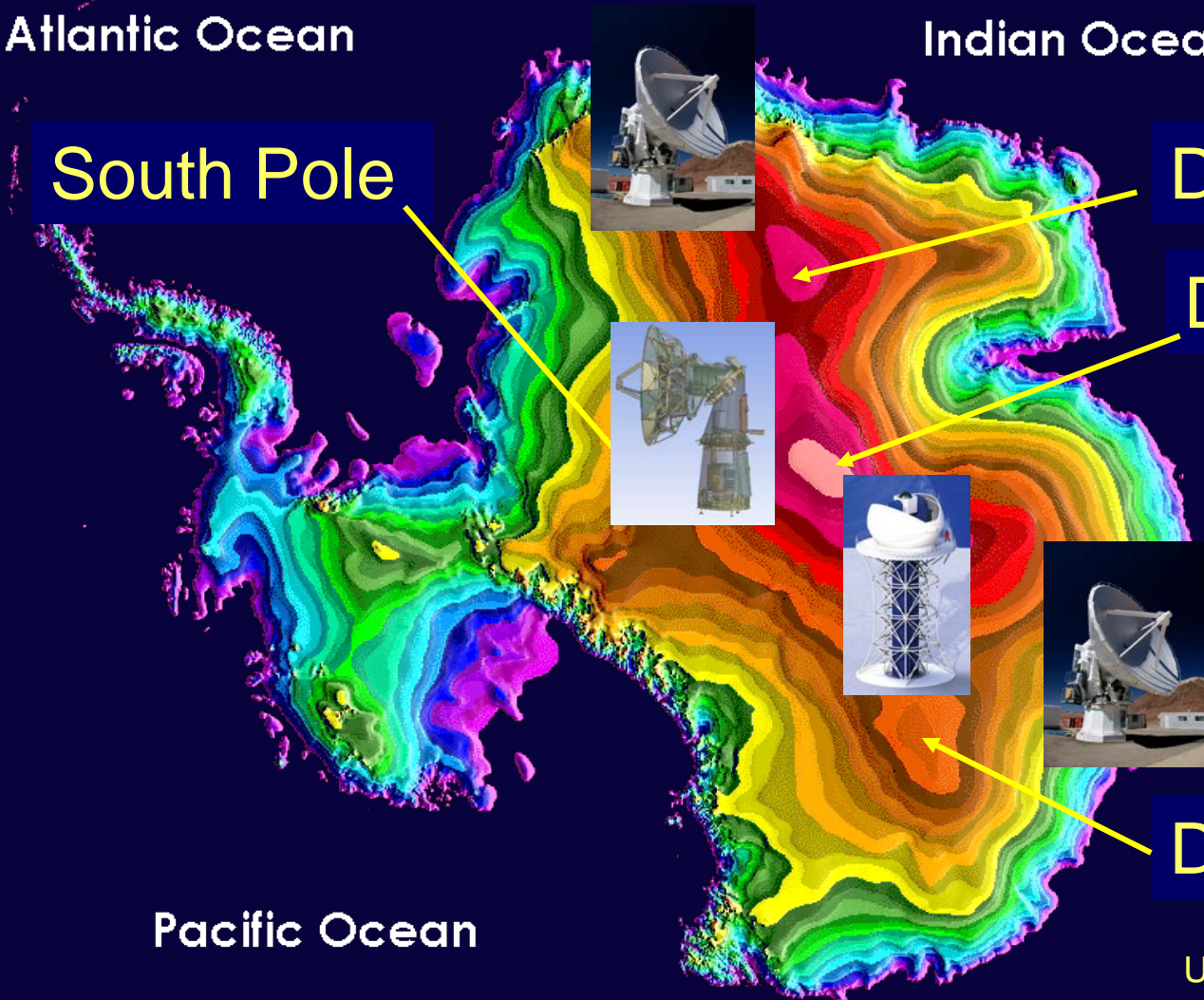
Pacific Ocean

USGS image

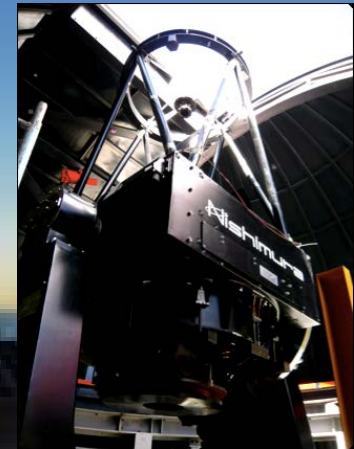
0

Elevation in meters

4000

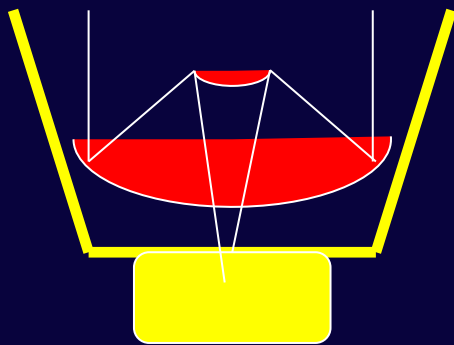


TAO Intensity Interferometer



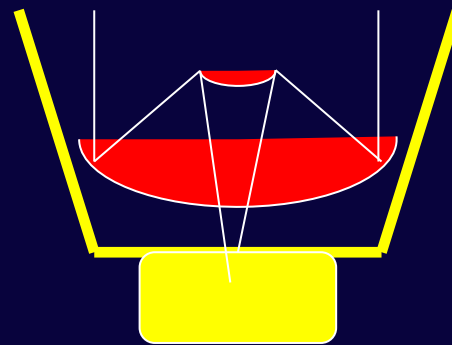
Technologies for Space THz Interferometry

- Cryogenics - AKARI, SPICA, Astro-H
- VLBI technology - HALCA, Astro-G
- Superconducting detectors - SMILES



Photon Counters
Atomic clock
Recorder

Formation
Flight



Photon Counters
Atomic clock
Recorder



A Concept of Space Terahertz Interferometer

